

Fig. 1A

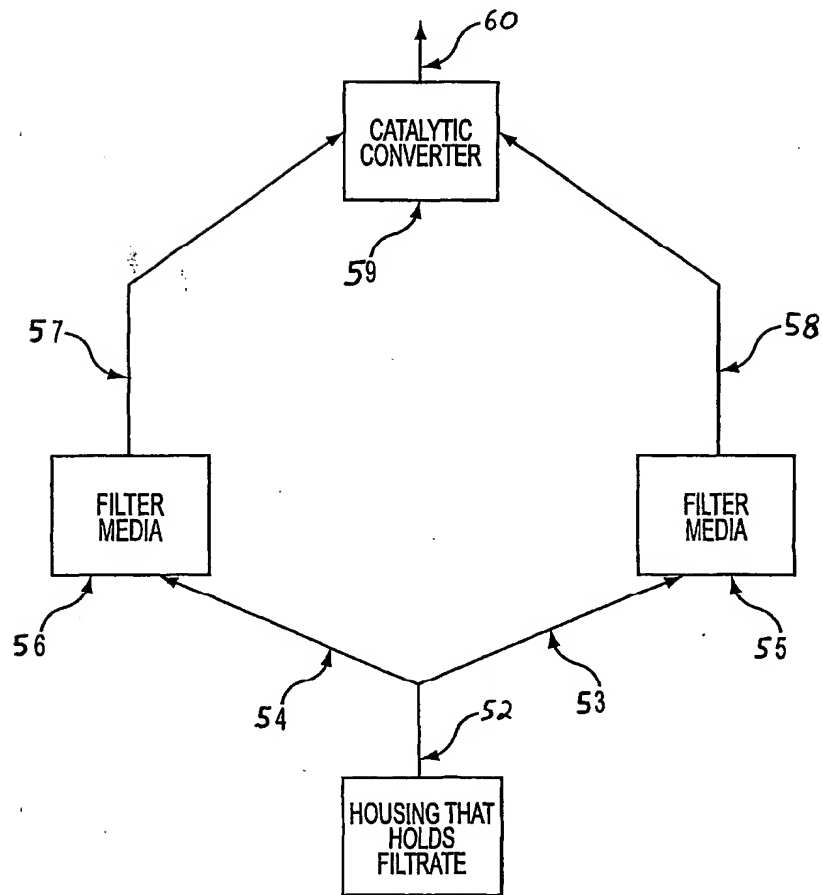
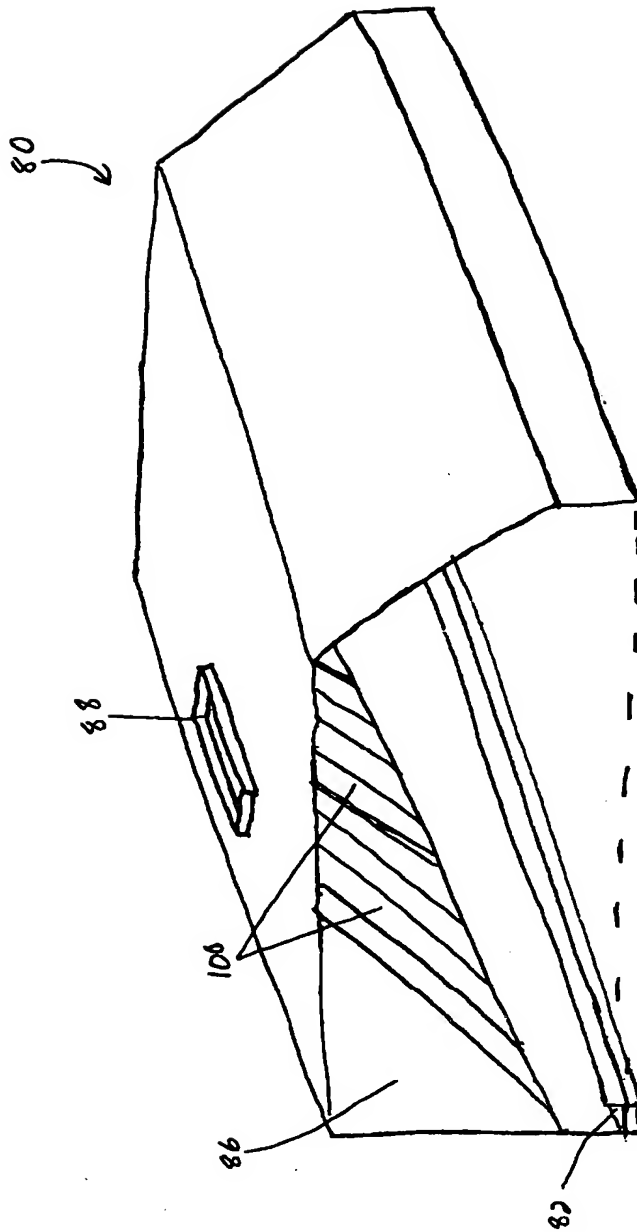


FIG. 1B



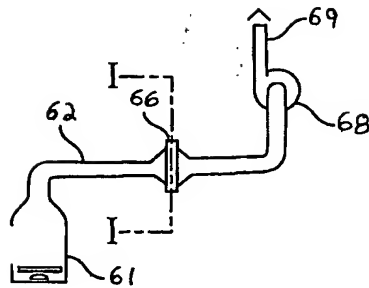


FIG. 2A

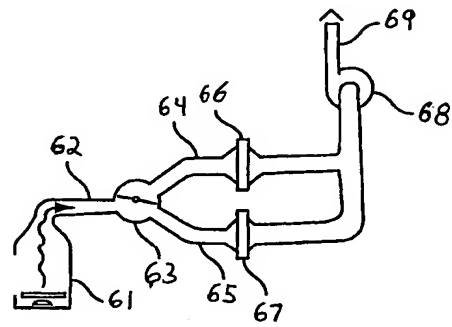


FIG. 2B

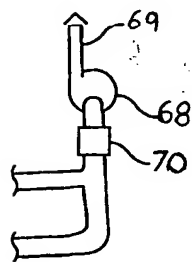


FIG. 2C

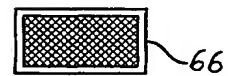


FIG. 2D

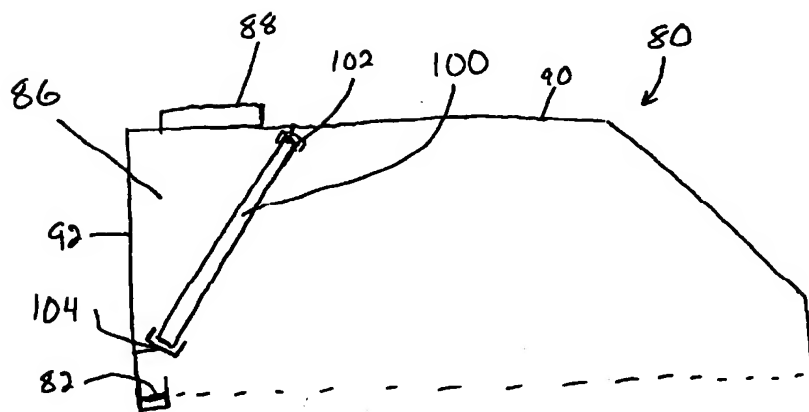


Fig. 2E

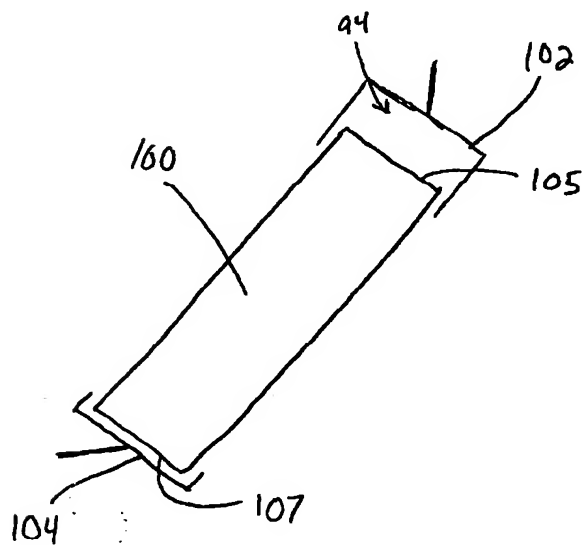
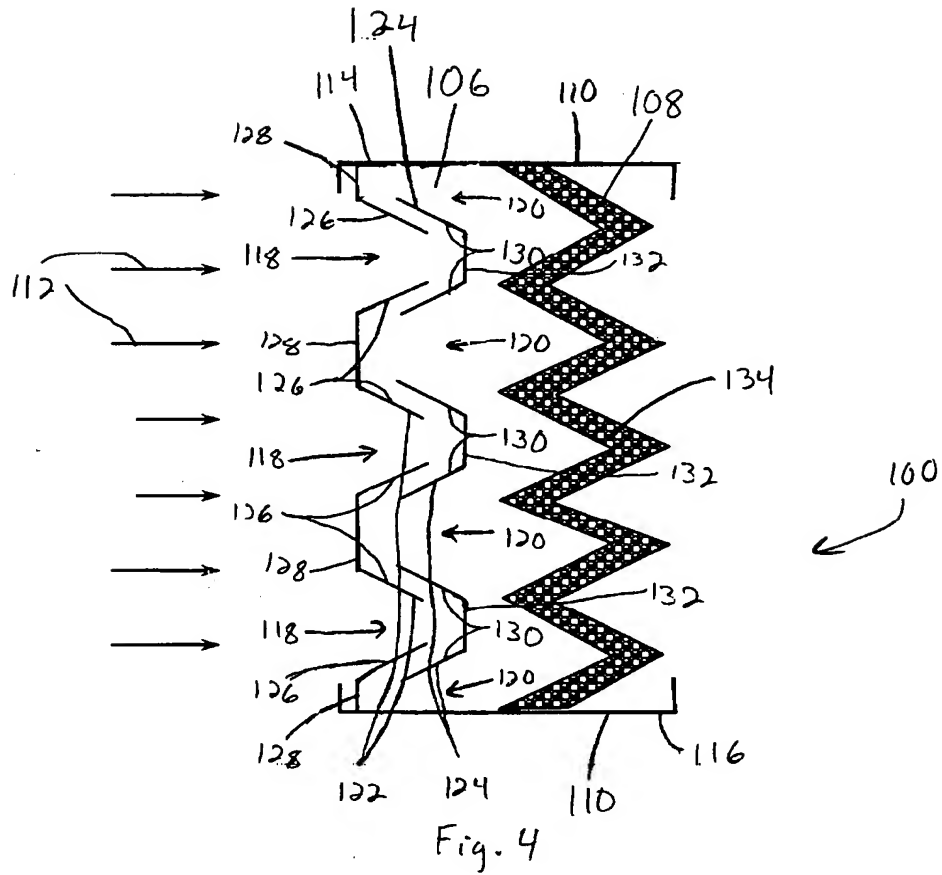


Fig. 3



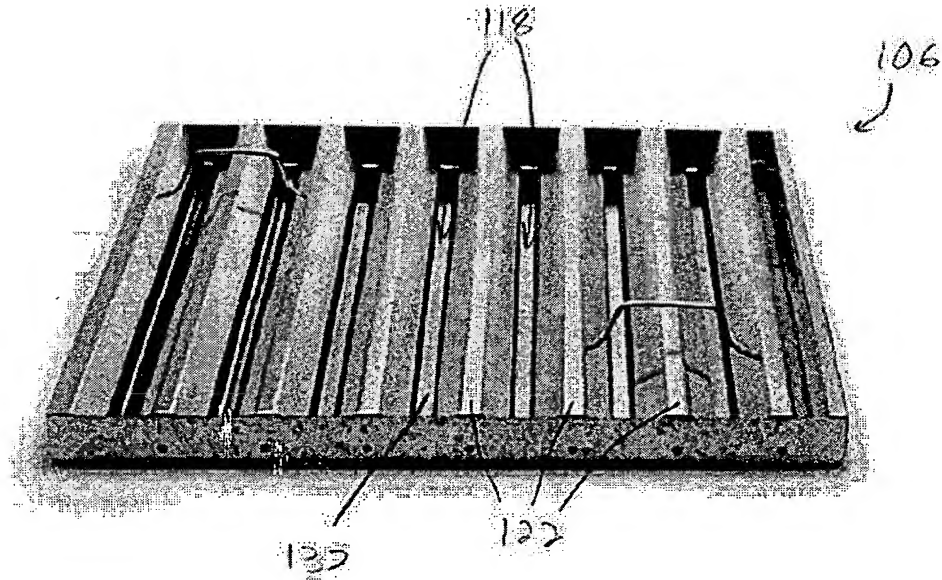


Fig. 5

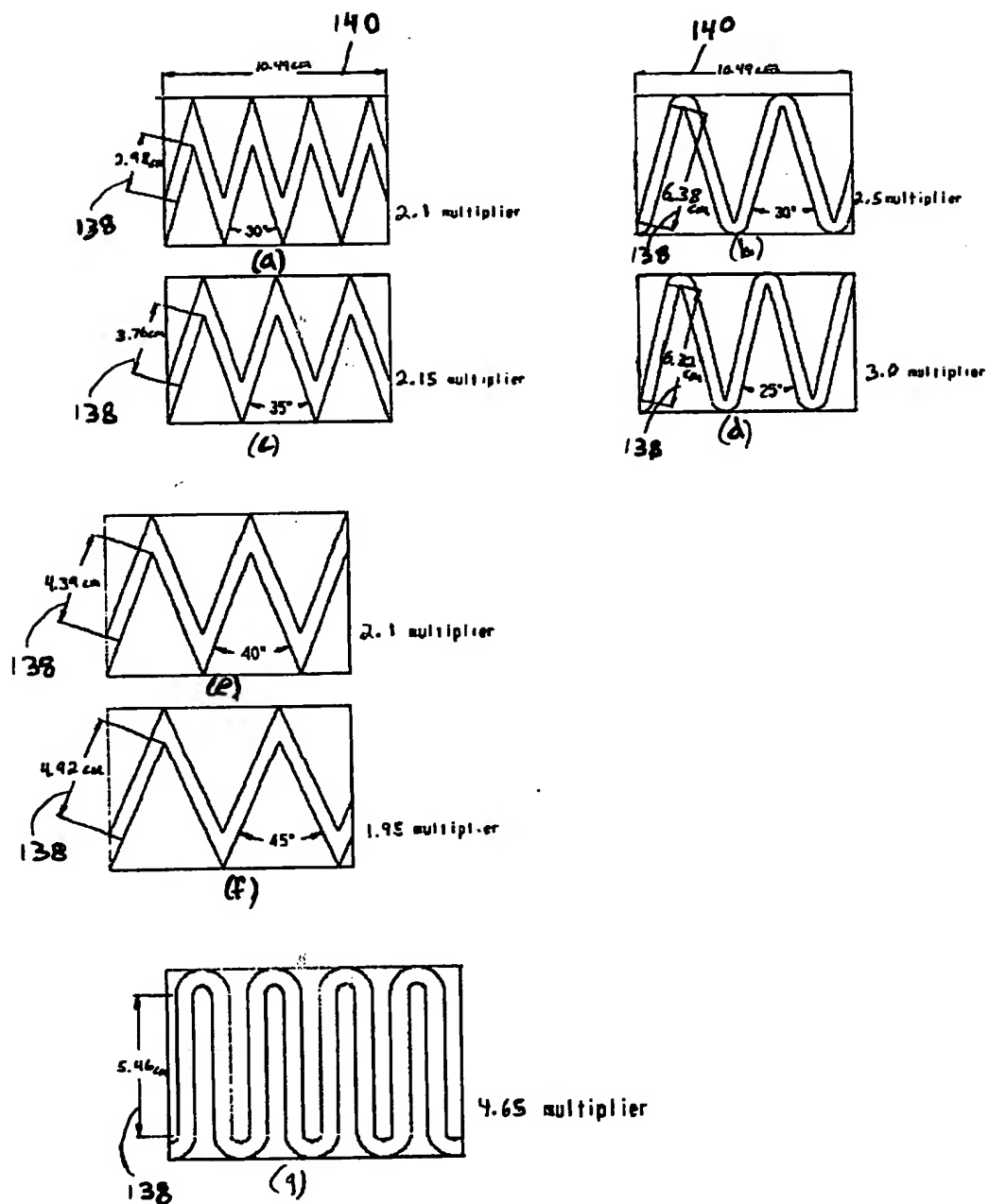


Fig 6



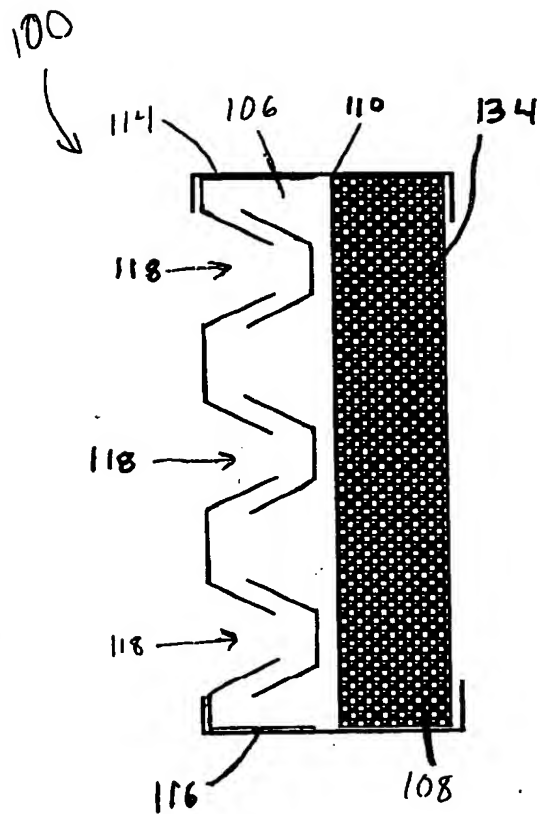


Fig. 7

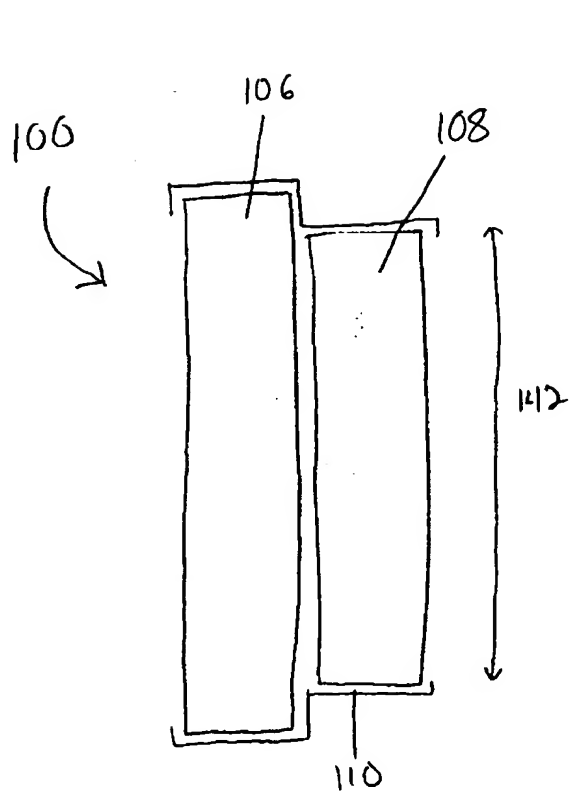


Fig. 8

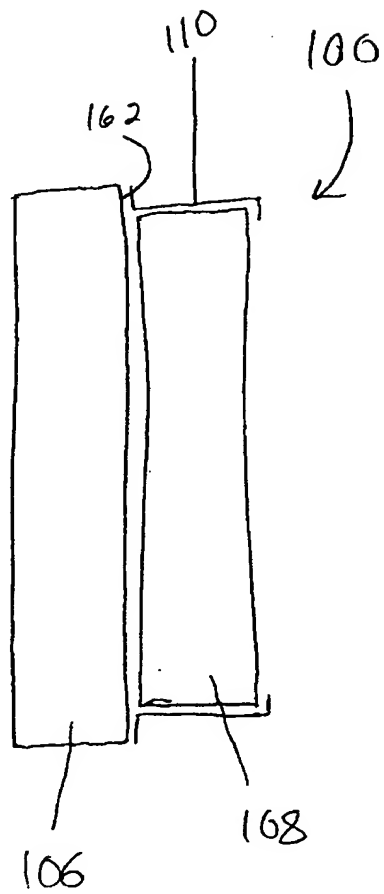
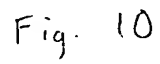


Fig. 9



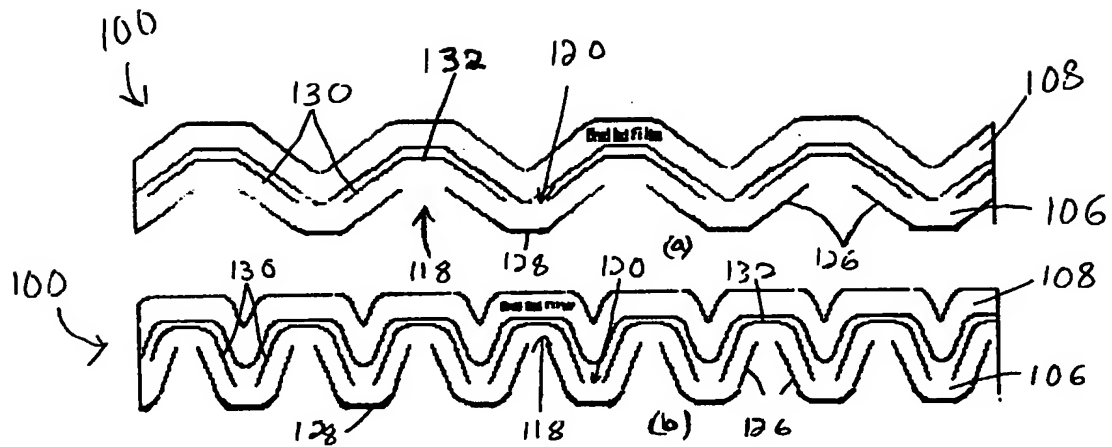


Fig. 11

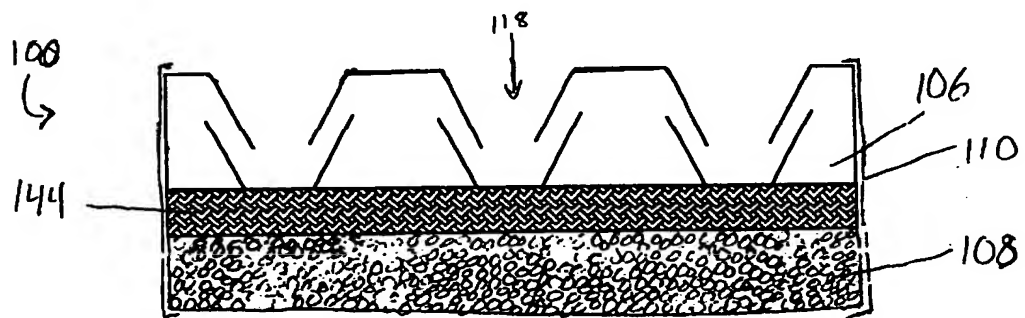


Fig. 12

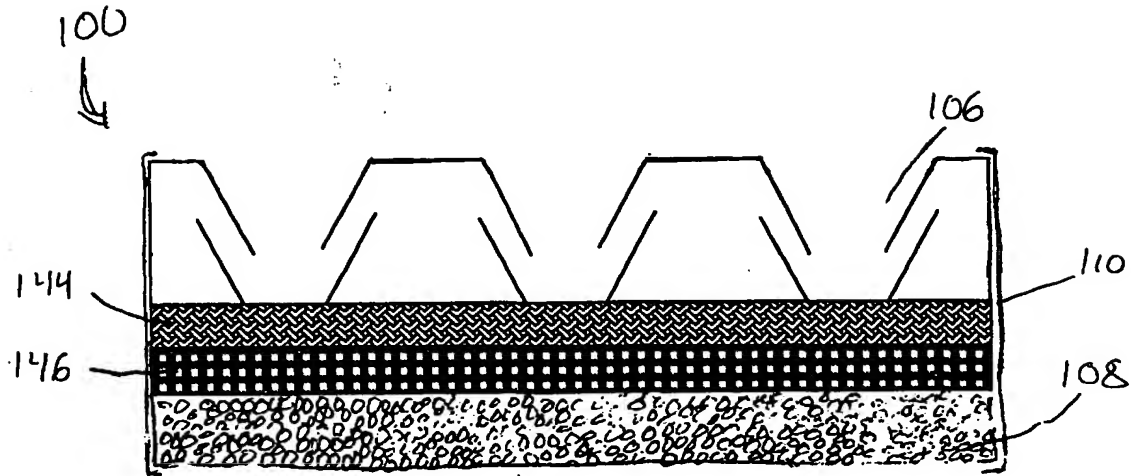


Fig. 13

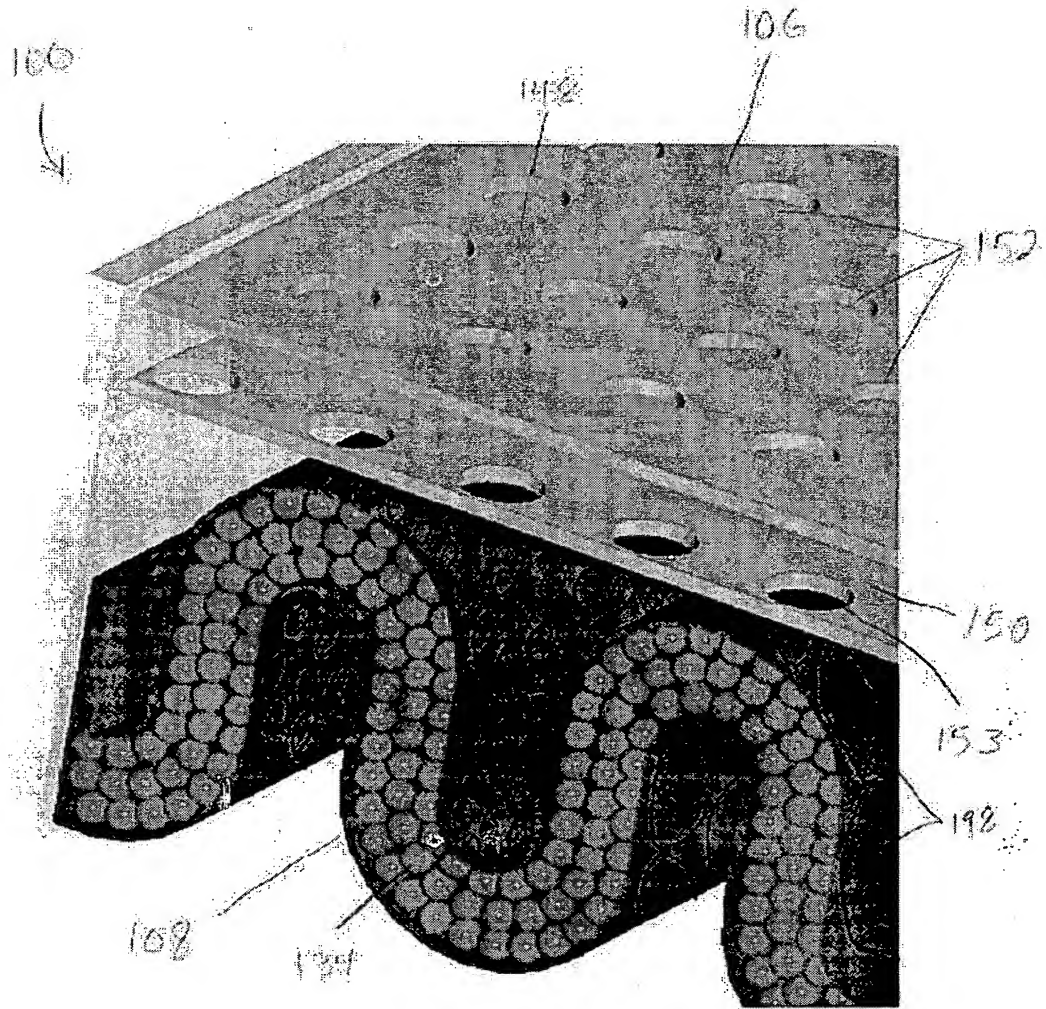


Fig. 14

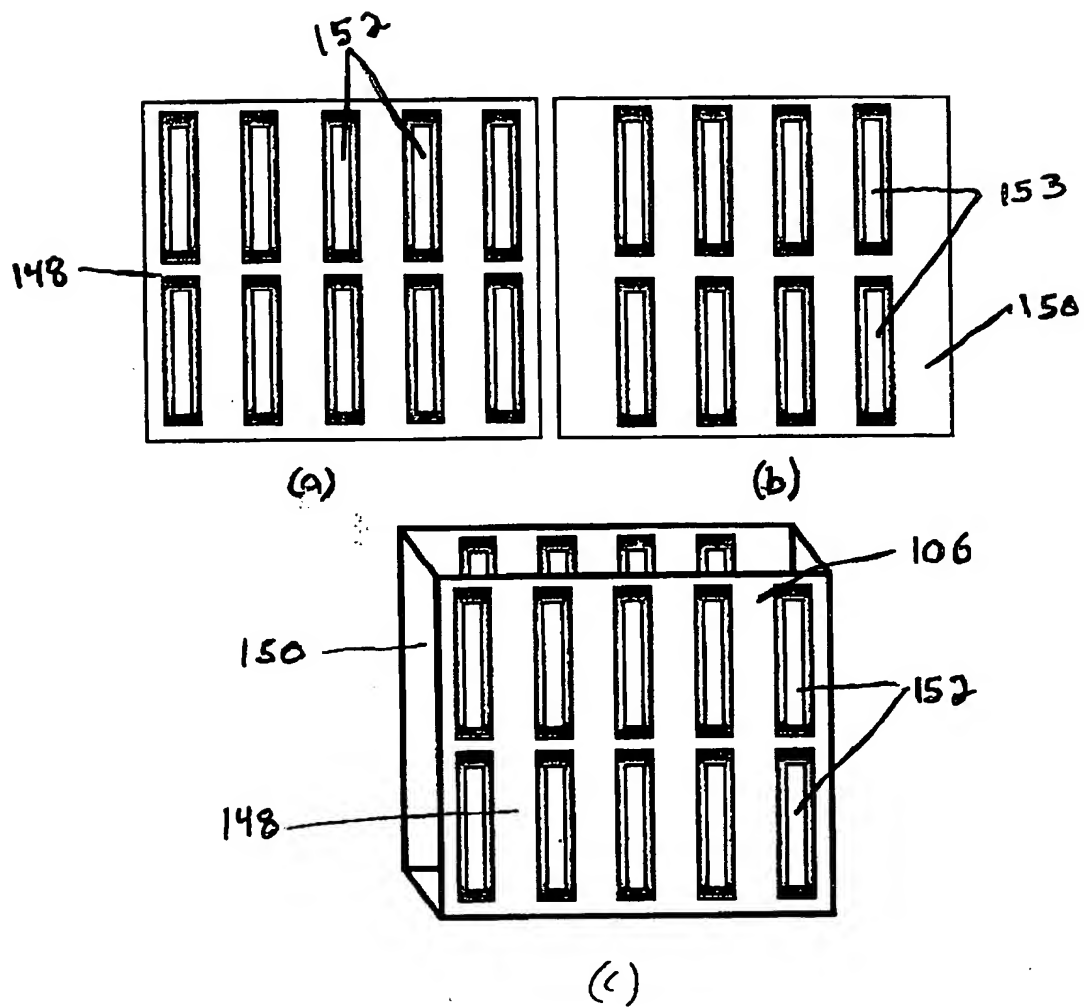


Fig. 15

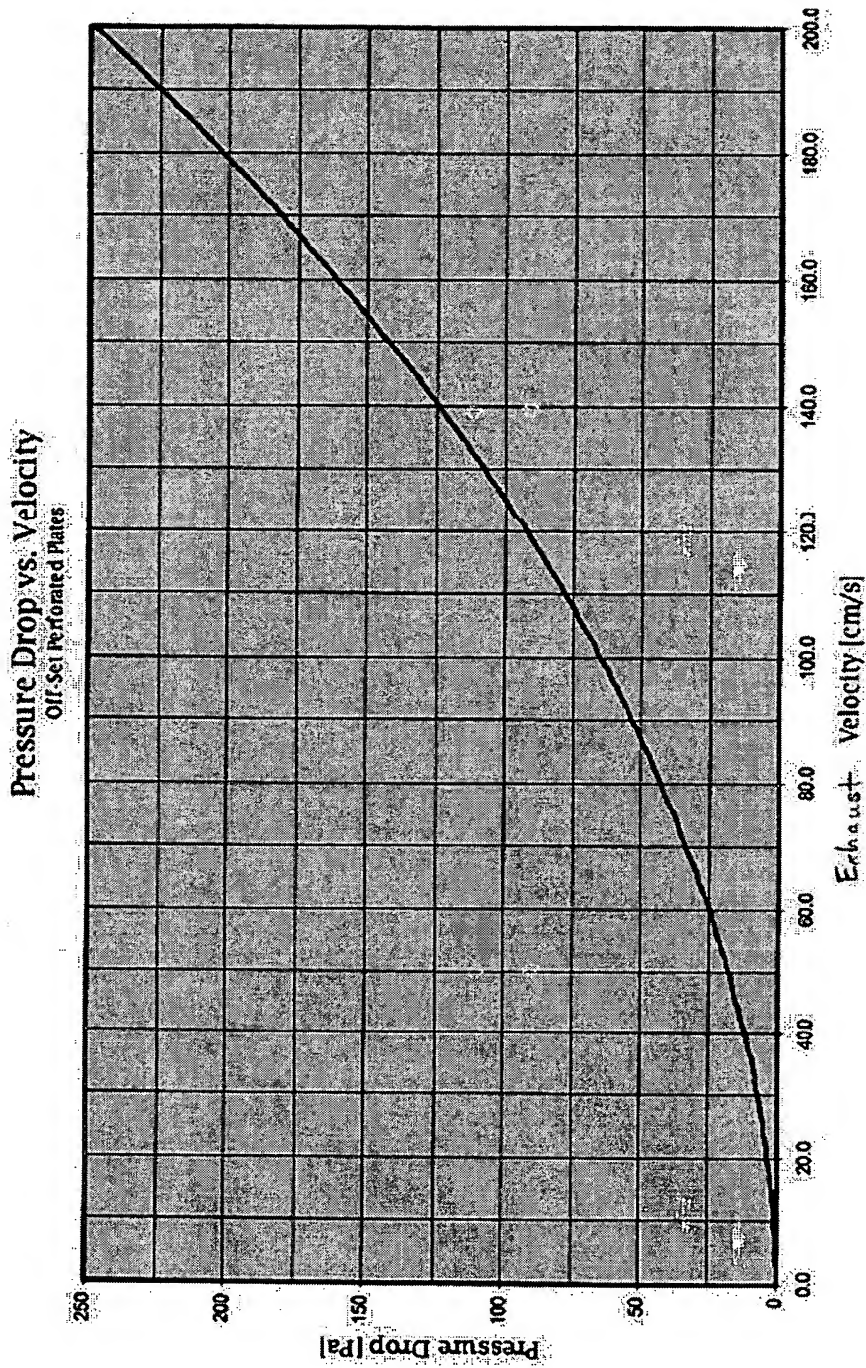


Fig. 16



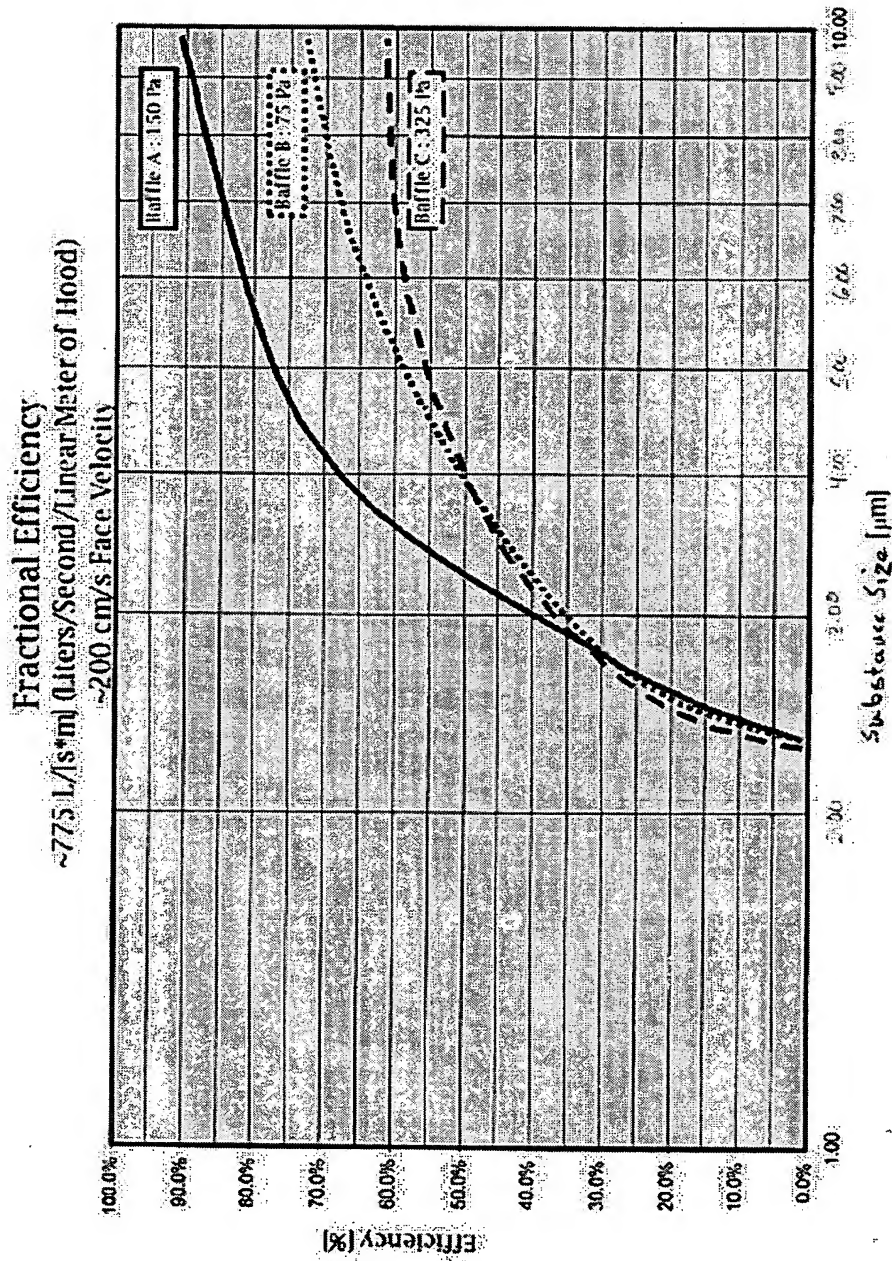


Fig. 17

Pressure Drop Vs. Impact Velocity for Various Open Area Perforated  
Plates

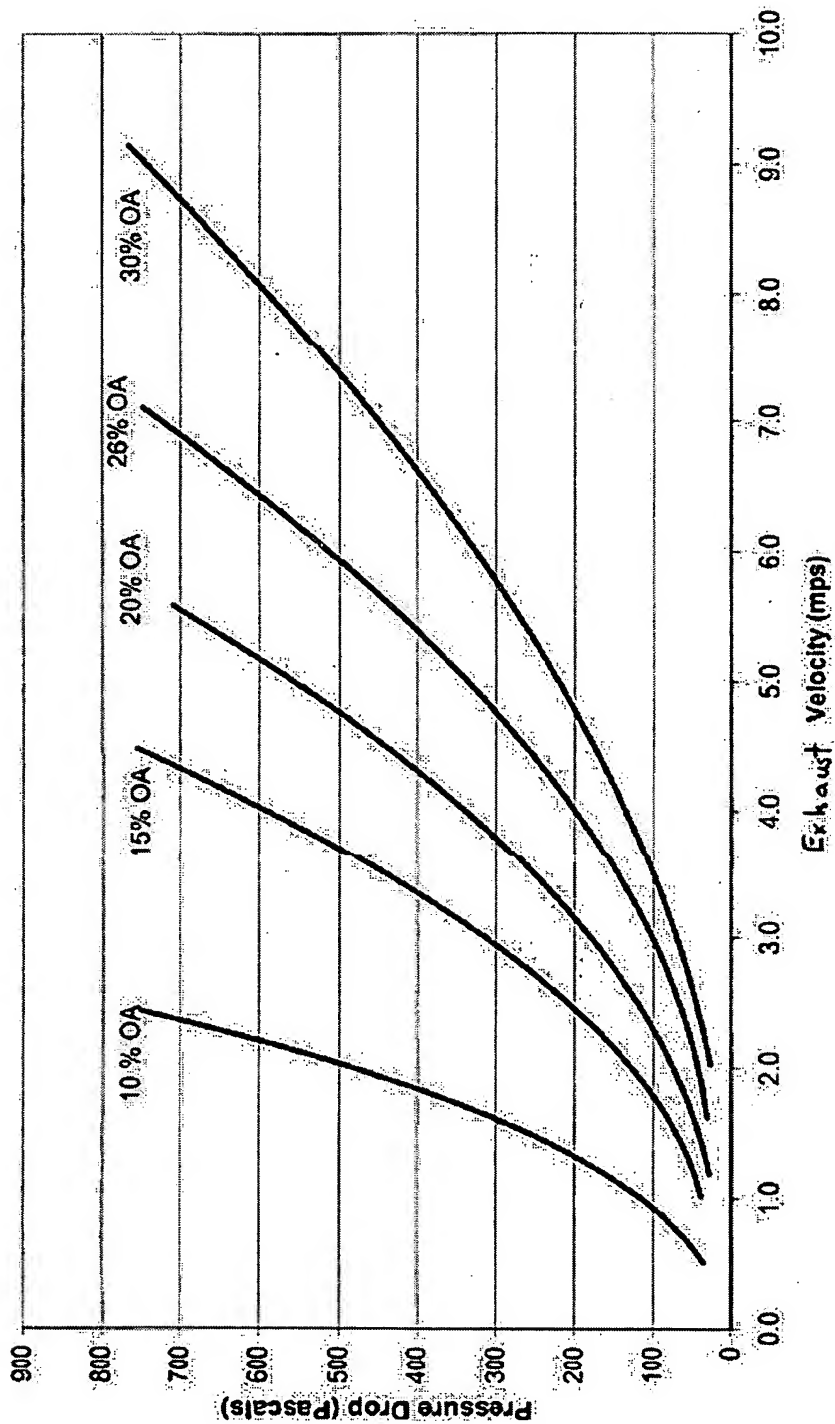


Fig. 12

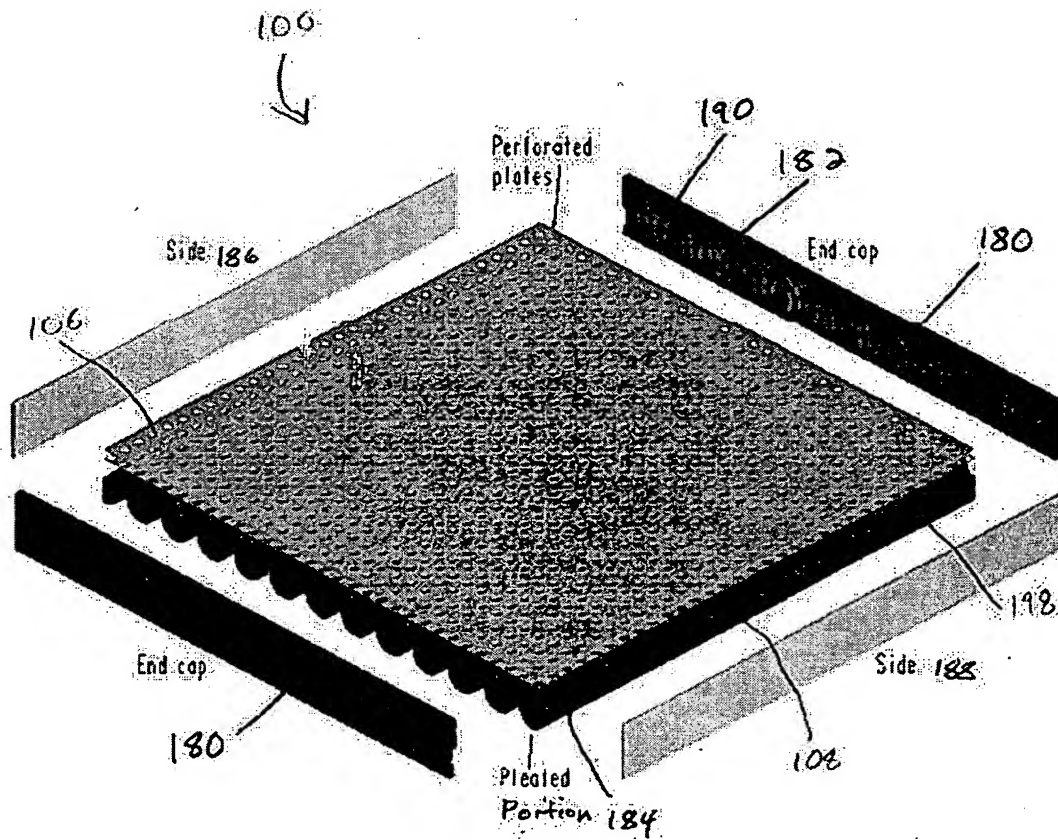
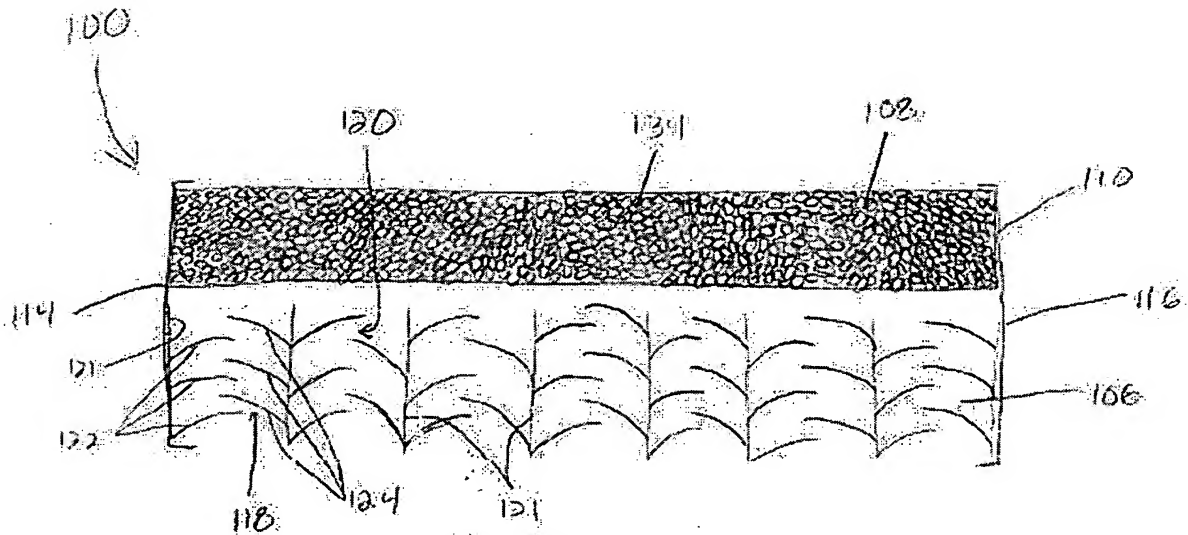
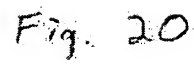


Fig. 19



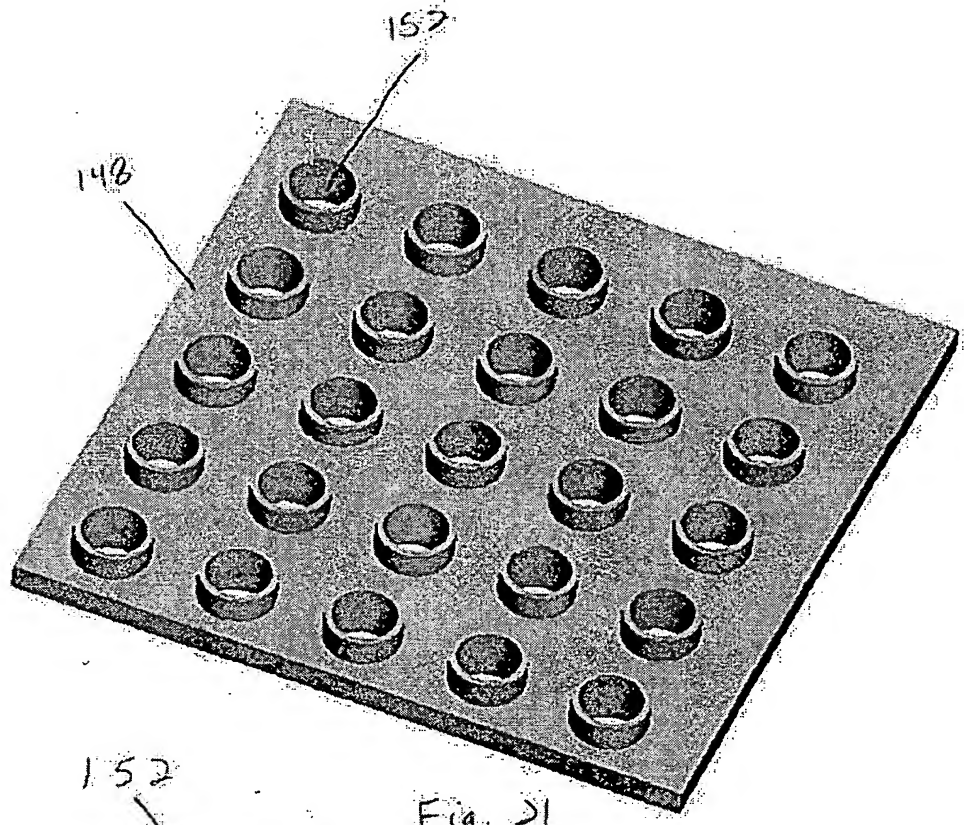


Fig. 21

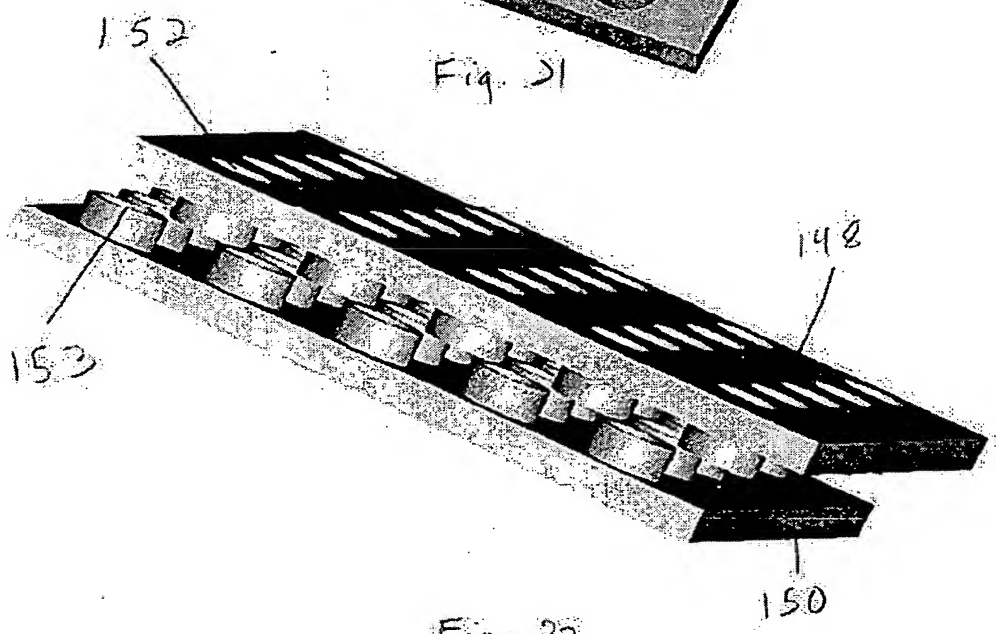


Fig. 22

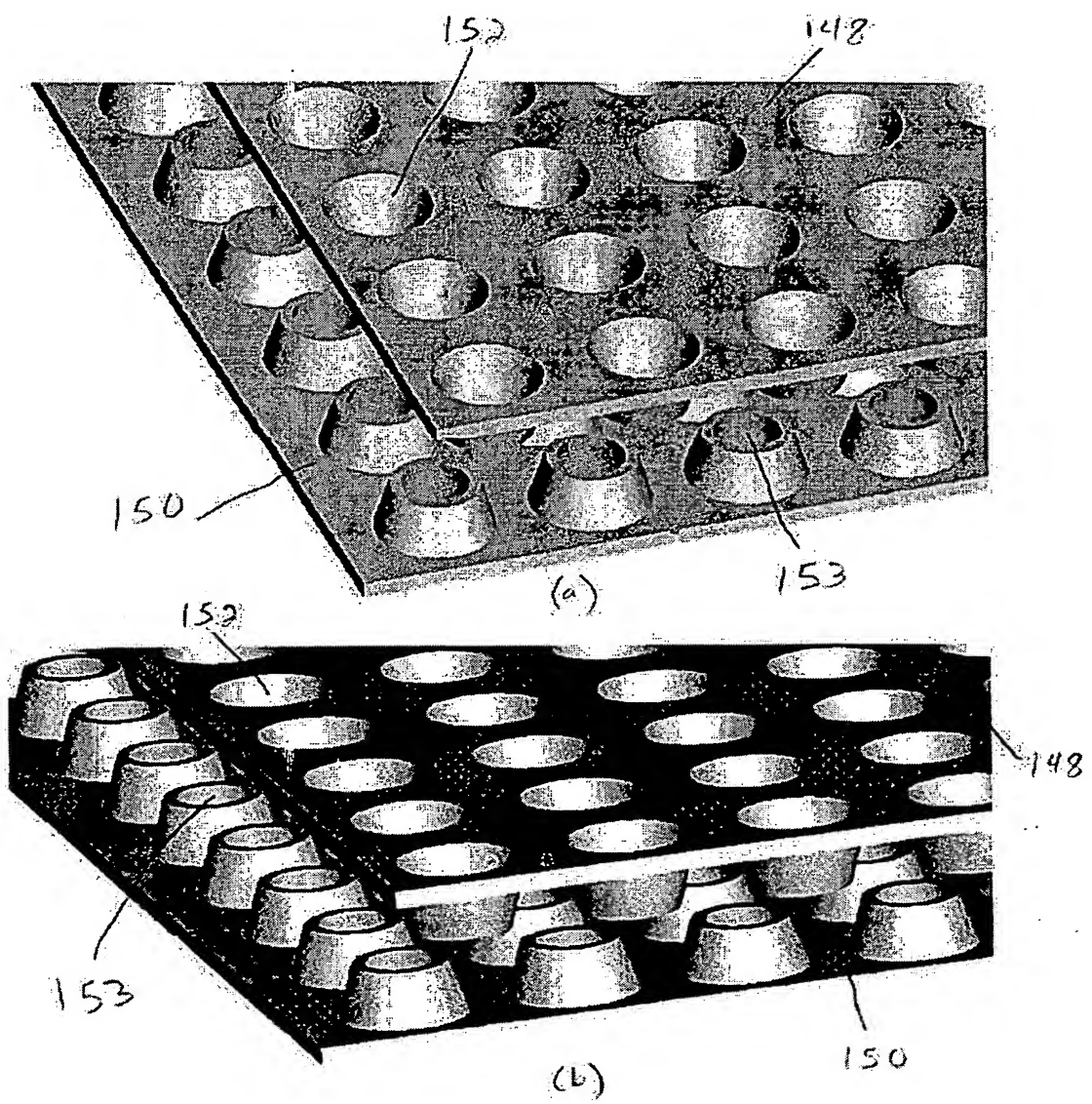


Fig. 23



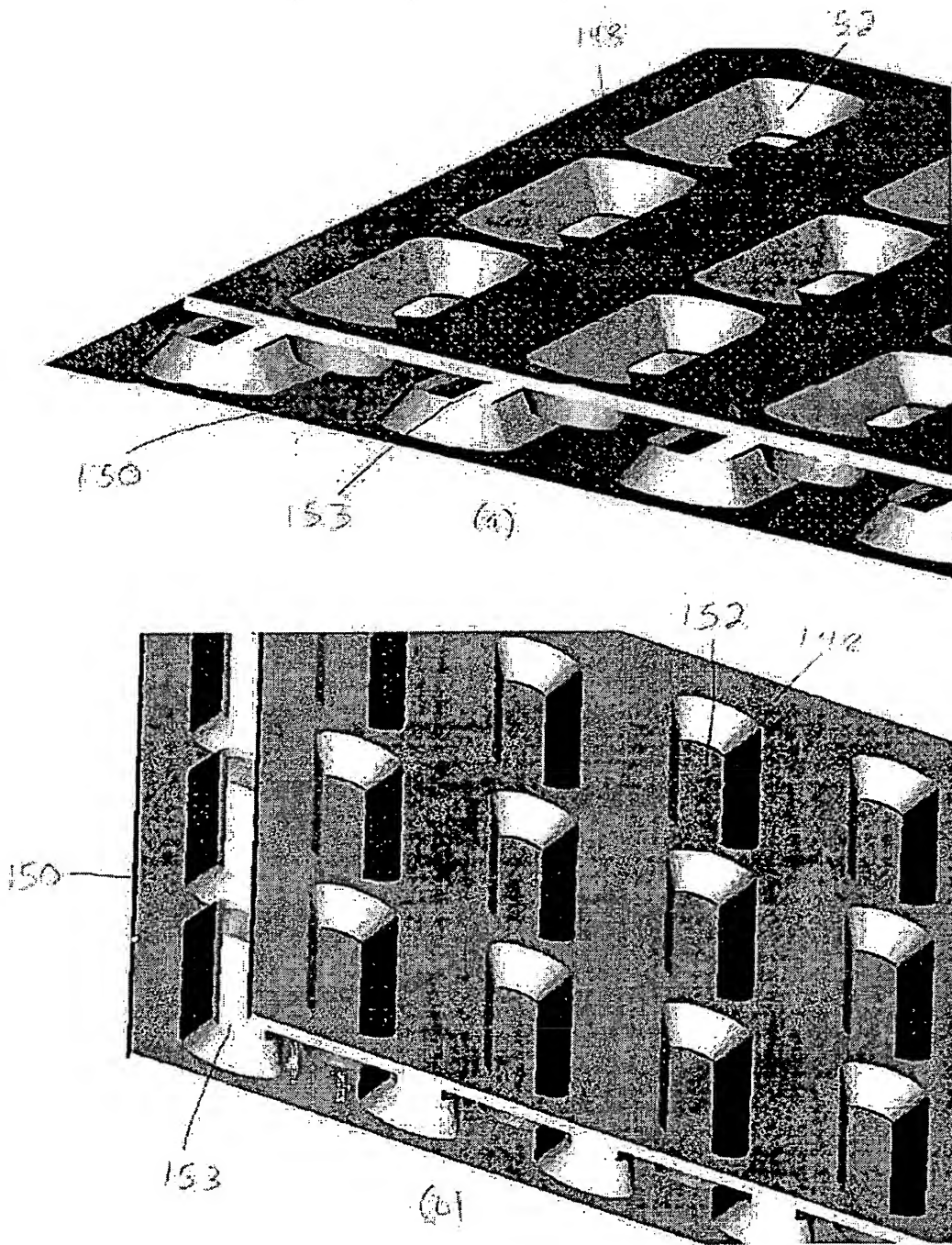


Fig 24

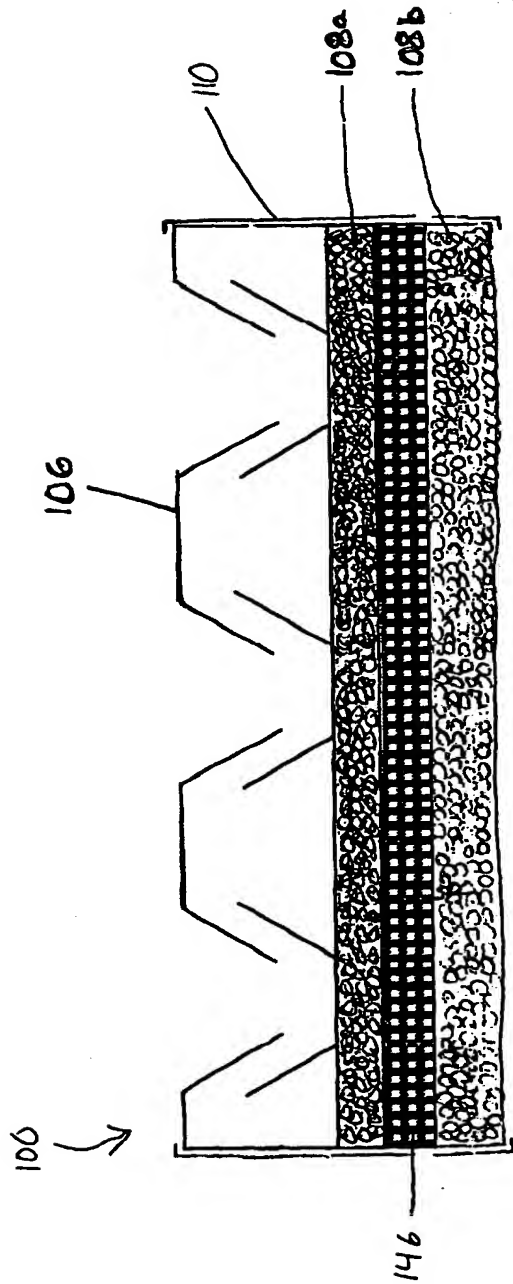


Fig. 25



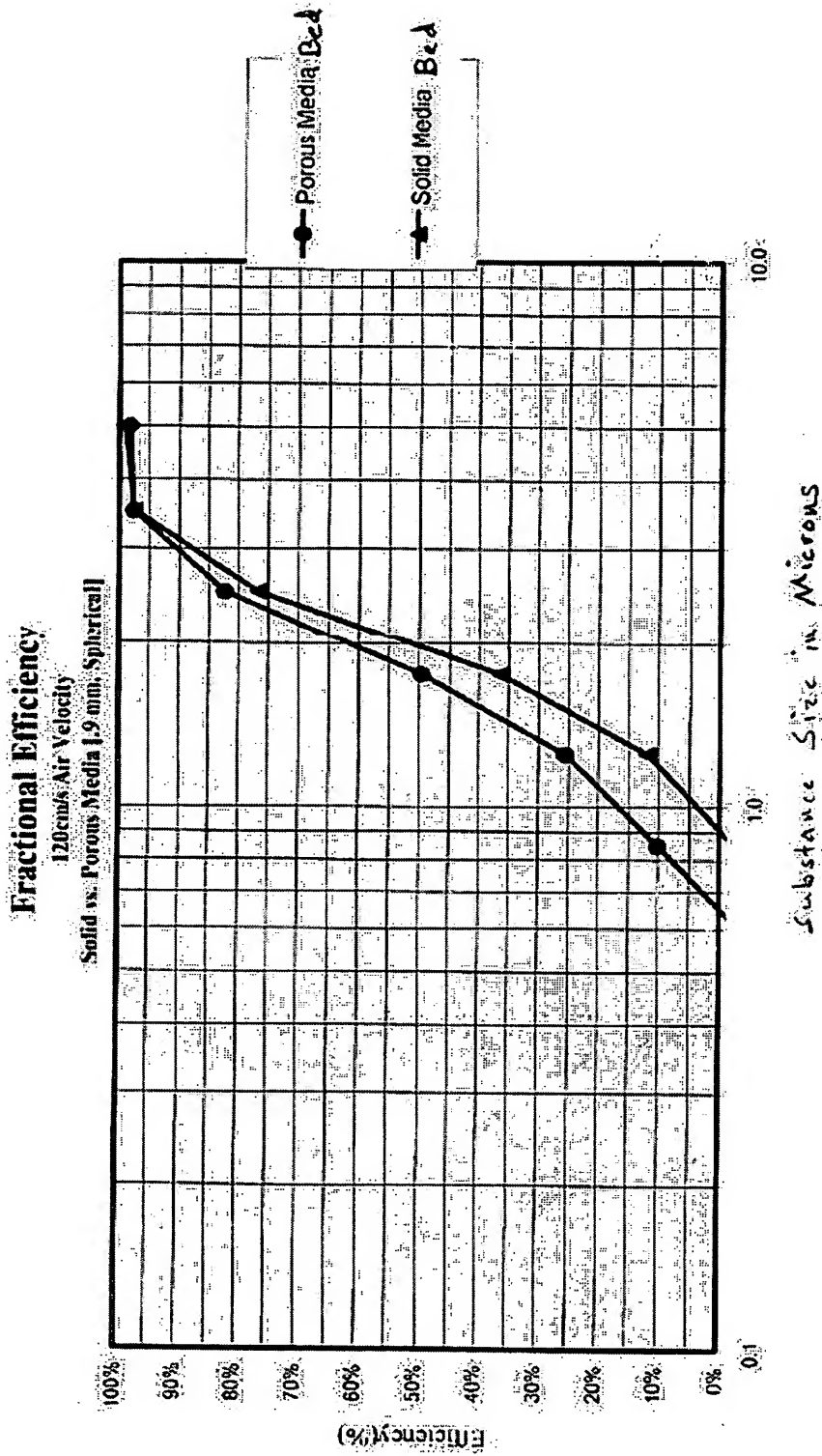


Fig. 27

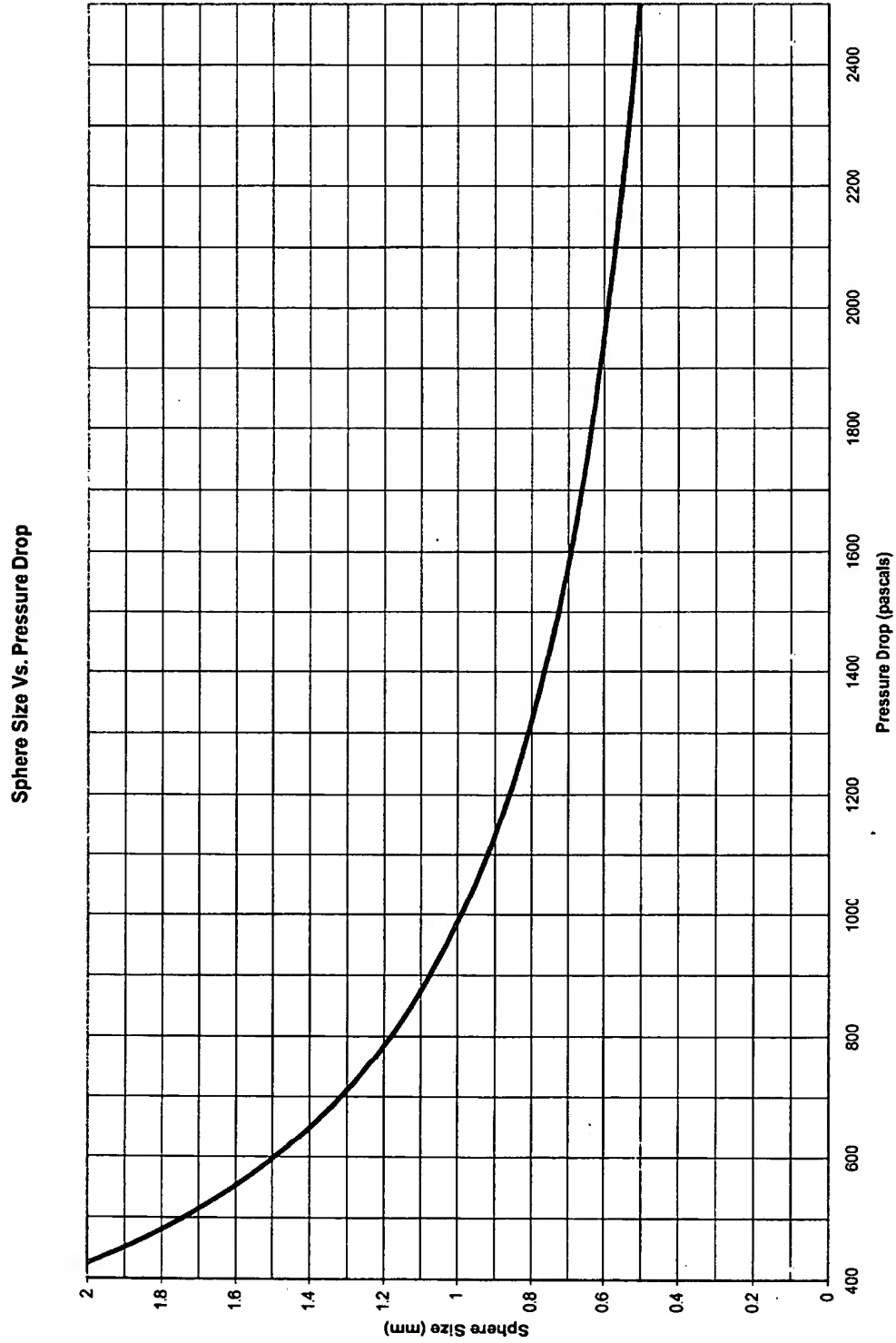


Fig. 28

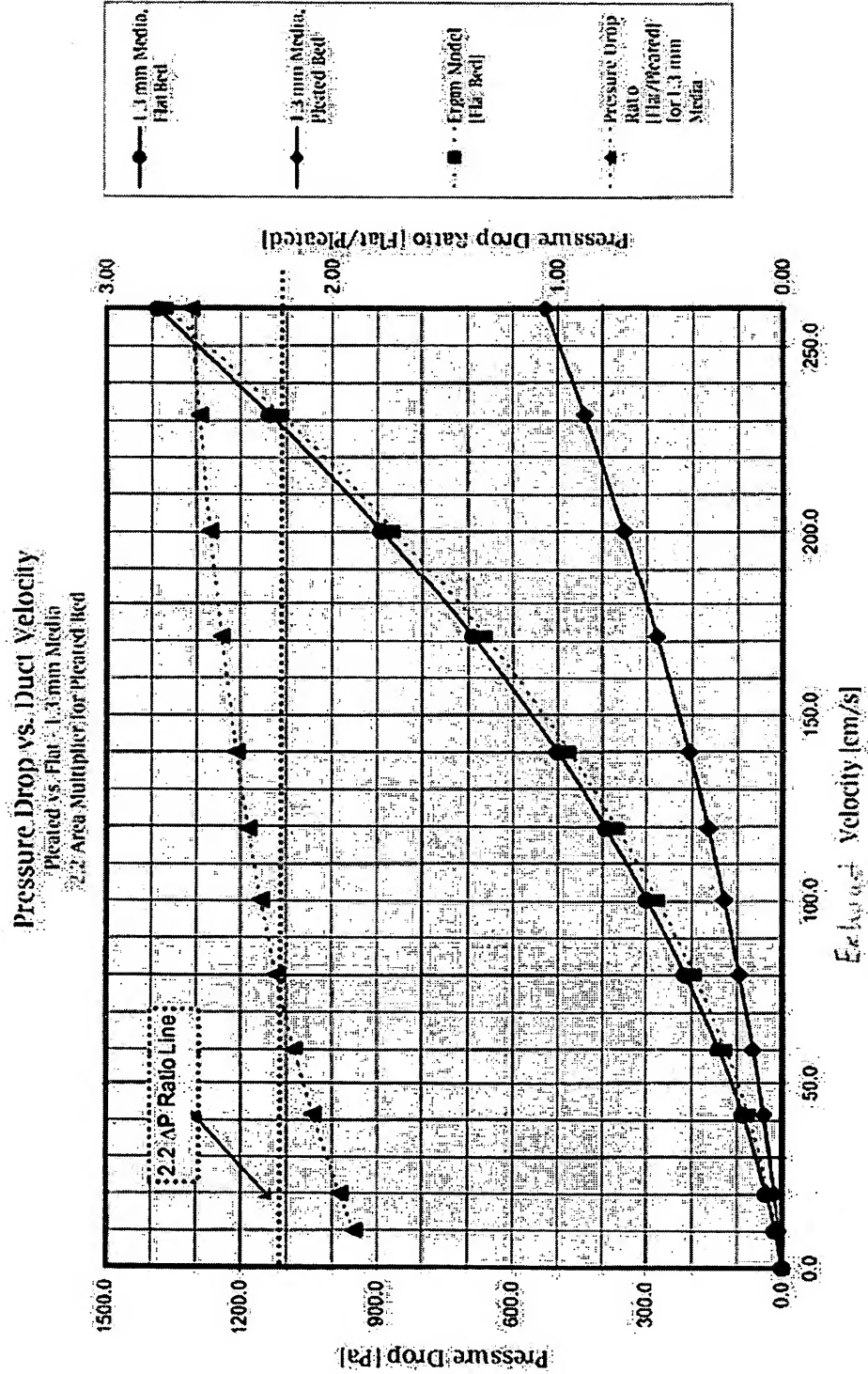


Fig. 29

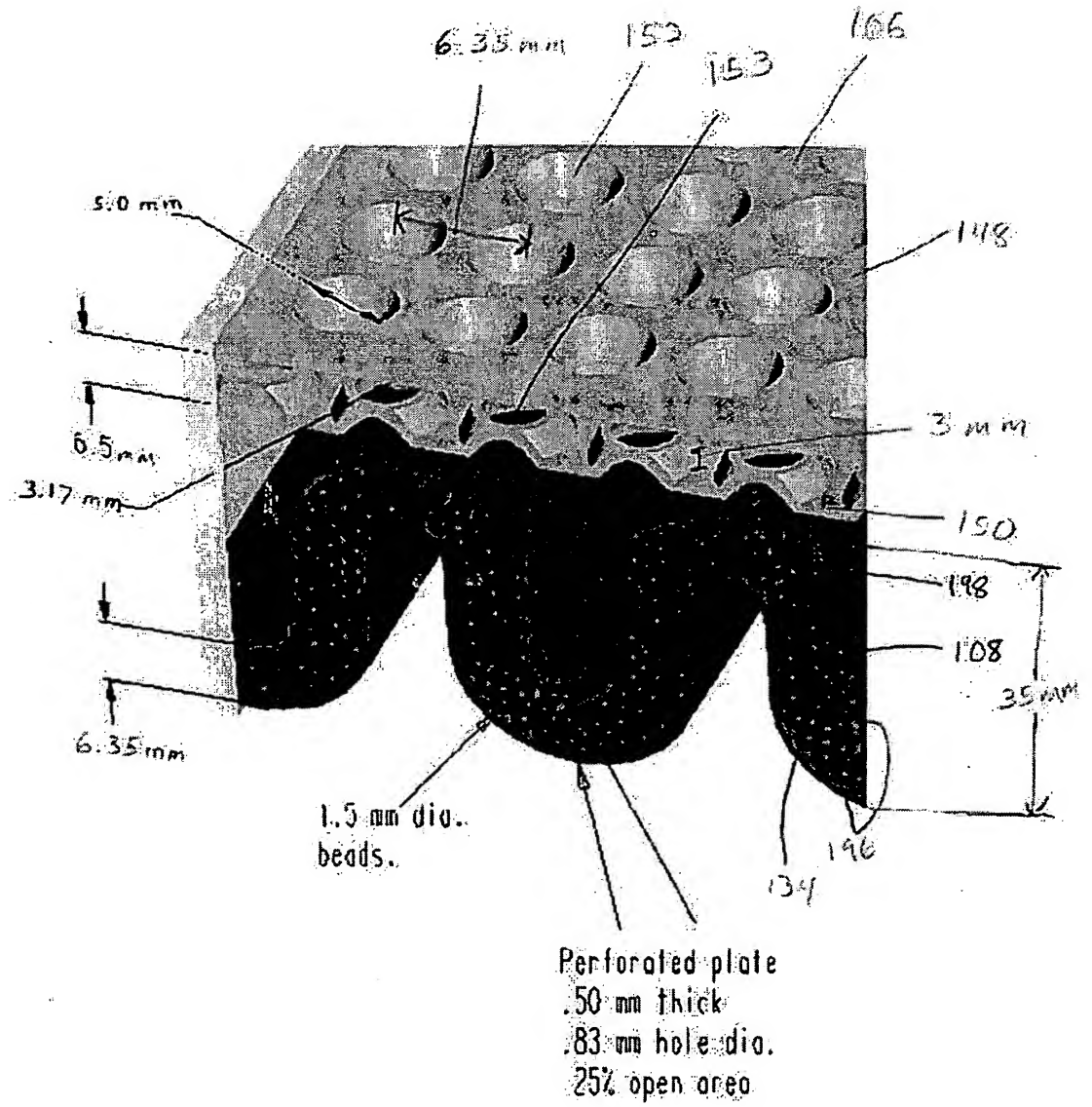
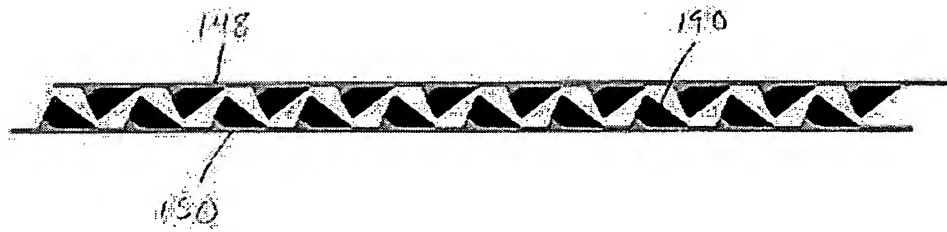
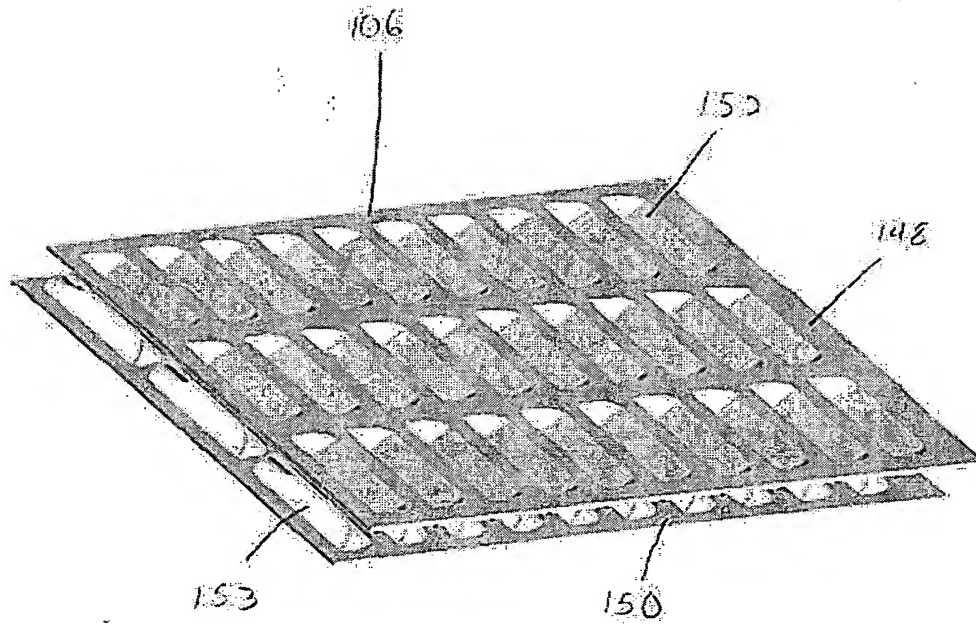


Fig. 30



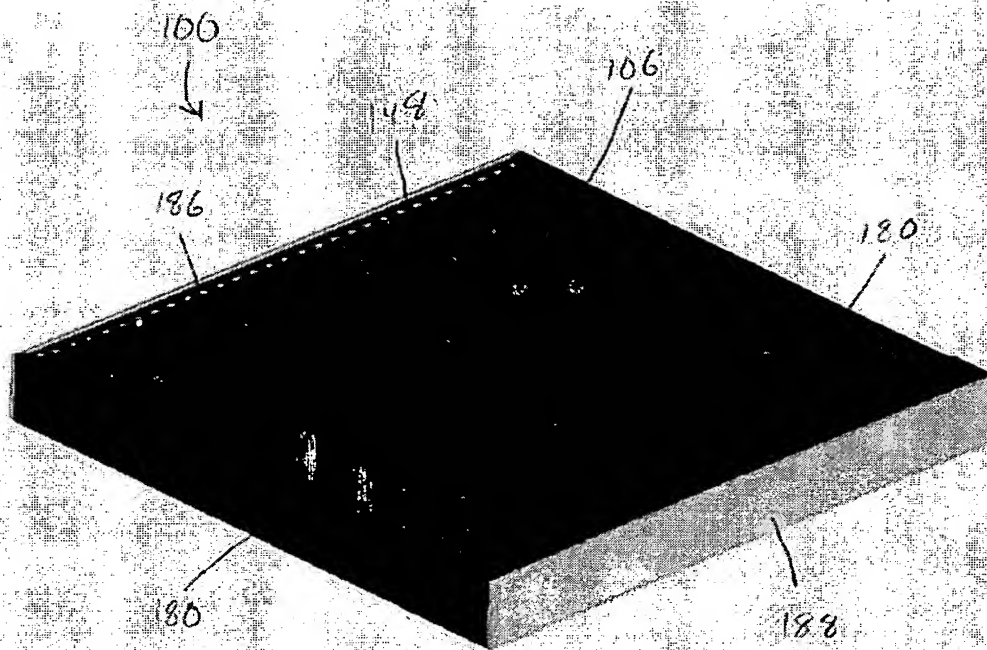


Fig. 33

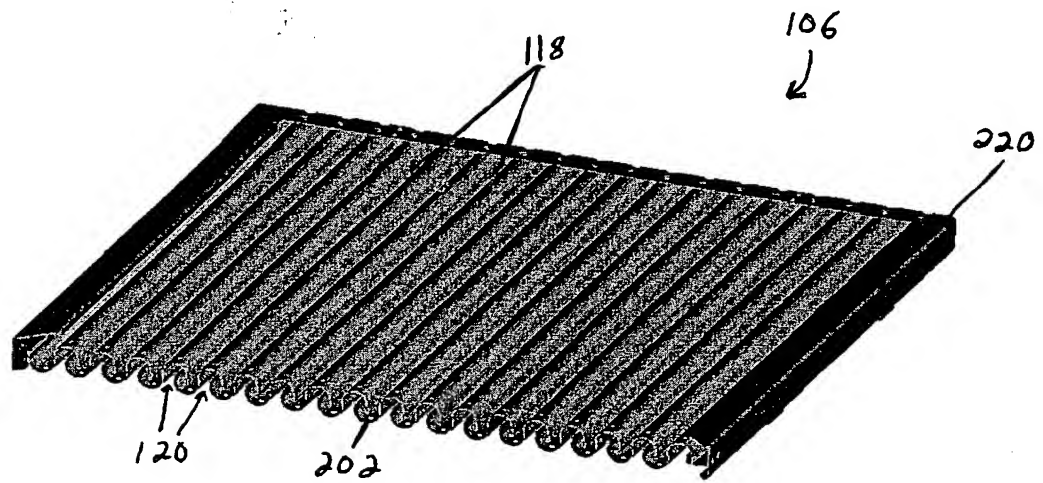


Fig. 34

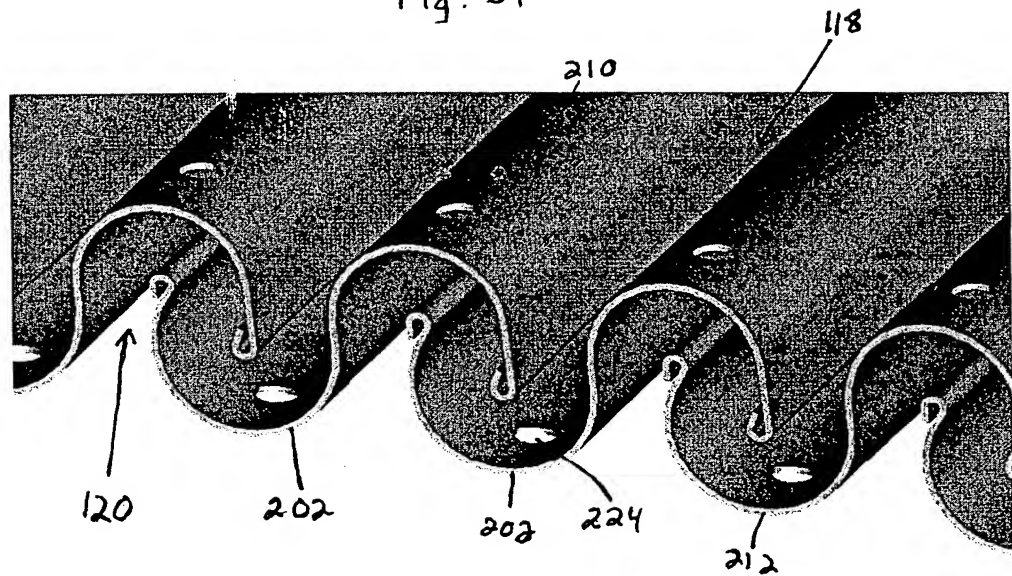


Fig. 35

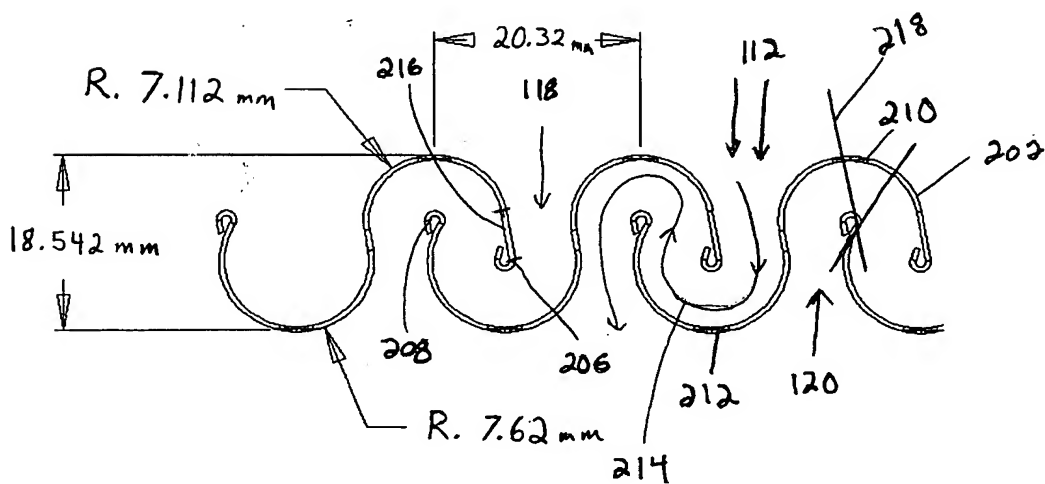


Fig. 36

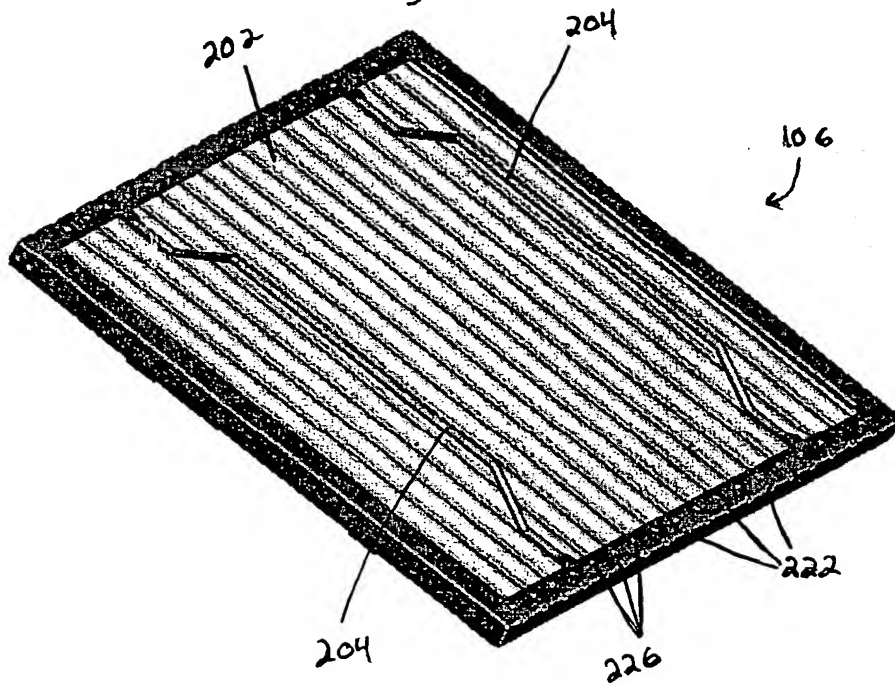


Fig. 37



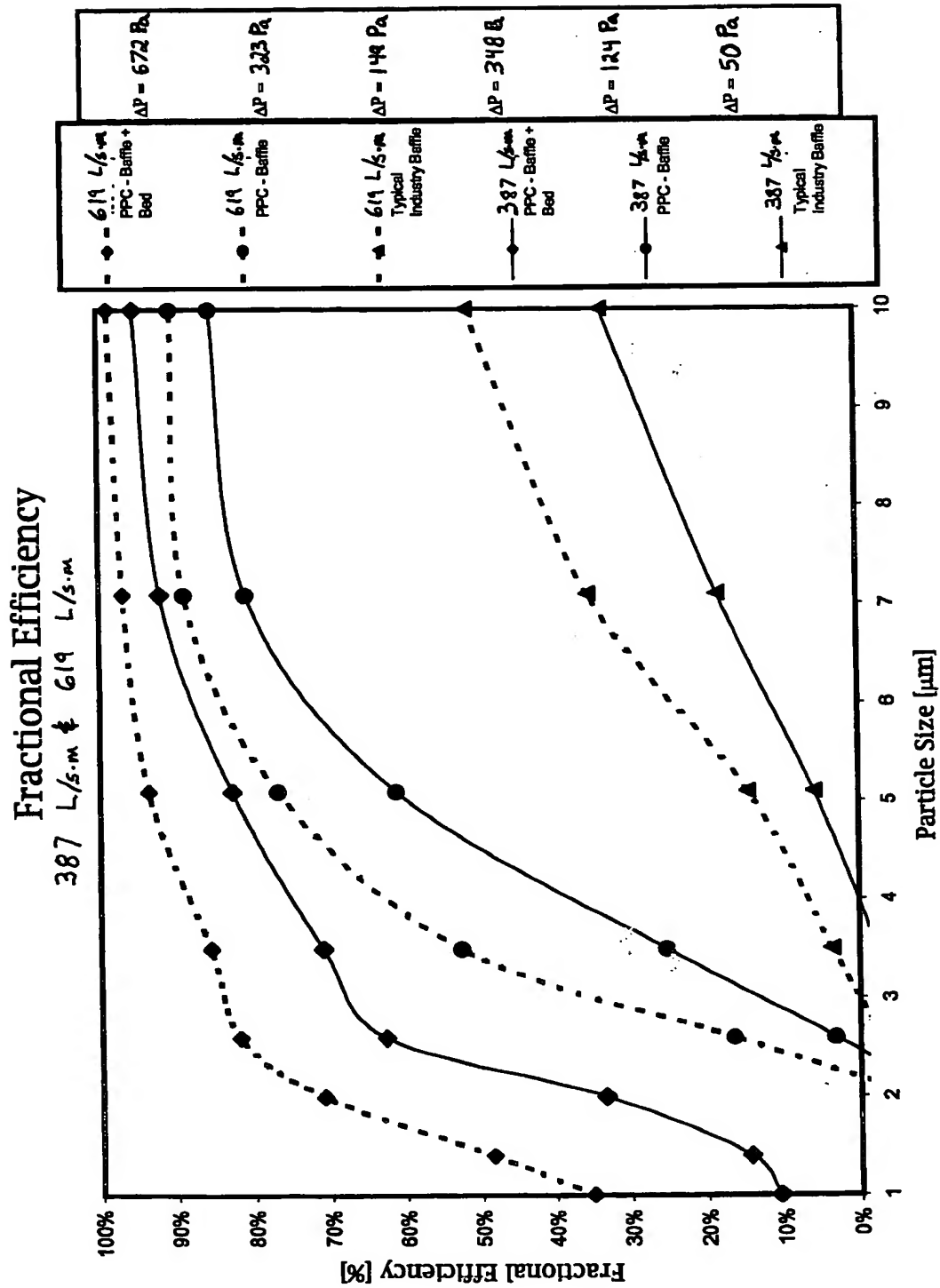


Fig. 38